

Projektiranje optimalnih FIR filtera

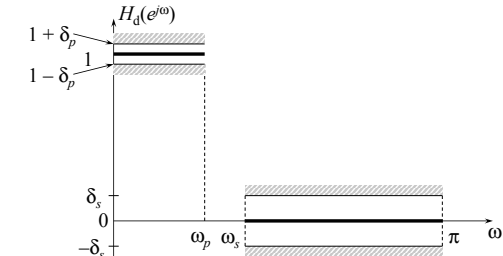
Digitalna obradba signala

Valovitost kod filtera

- Filtri dobiveni metodom vremenskih otvora
 - valovitost definirana vrstom vremenskog otvora
 - nemogućnost kontrole nad valovitostima u pojedinim frekvencijskim područjima
- Filtri dobiveni korištenjem adaptivnih vremenskih otvora (Kaiser, Dolph-Chebyshev)
 - omogućuju kontrolu minimalnog gušenja
- Optimalni FIR filtri
 - kontrola valovitosti za svako pojedino područje

2

Specifikacija optimalnog niskog propusta



Neki od parametara N, δ_s , δ_p , ω_p , ω_s su fiksirani, a iterativnim postupcima se podešavaju ostali parametri.

3

Numeričko projektiranje FIR filtera

- $H(e^{j\omega})$ - frekvencijska karakteristika digitalnog filtra $H(z)$ koja aproksimira željenu frekvencijsku karakteristiku $D(e^{j\omega})$.
- Primjenjuje se iterativni postupak.

4

Numeričko projektiranje FIR filtera

- Iterativno se određuju koeficijenti $H(z)$ tako da je razlika $H(e^{j\omega})$ i $D(e^{j\omega})$ preko zatvorenih subintervala od $0 \leq \omega \leq \pi$ minimalna.
- Greška aproksimacije dana je s:

$$E(\omega) = W(e^{j\omega})[H(e^{j\omega}) - D(e^{j\omega})]$$
 gdje je $W(e^{j\omega})$ težinska funkcija

5

Numeričko projektiranje FIR filtera

- Chebyshev ili minimax kriterij:**
Minimizira se maksimalna vrijednost greške:

$$\epsilon = \max_{\omega \in R} |E(\omega)|$$
 gdje je R skup razdvojenih frekvencijskih područja unutar $0 \leq \omega \leq \pi$ za koje je $D(e^{j\omega})$ definiran.
- Na primjer, za niski propust R to područje je unija $[0, \omega_p]$ i $[\omega_s, \pi]$.

6

Projektiranje FIR filtera jednake valovitosti (equiripple)

- FIR filtri linearne faze projektirani na temelju maksimalne greške

$$\epsilon = \max_{\omega \in R} |E(\omega)|$$

nazivaju se **equiripple FIR filtri**

- Za minimizirani ϵ funkcija greške $E(\omega)$ karakterizirana je jednakom valovitošću u području R

7

Projektiranje FIR filtera jednake valovitosti

- Opći oblik frekvencijske karakteristike kauzalnog FIR filtra duljine $N=2M+1$ je:

$$H(e^{j\omega}) = e^{-jM\omega} e^{j\beta} \tilde{H}(\omega), \quad \beta = 0 \text{ ili } \pi/2$$
 gdje je $\tilde{H}(\omega)$ amplitudna karakteristika realna funkcija od ω .
- Funkcija greške je tada dana s:

$$E(\omega) = W(\omega)[\tilde{H}(\omega) - D(\omega)]$$
 gdje je $D(\omega)$ željena amplitudna karakteristika a $W(\omega)$ pozitivna težinska funkcija

8

Projektiranje FIR filtera jednake valovitosti

- Parks-McClellan algoritam** – Temelji se na iterativnom podešavanju koeficijenata $\tilde{H}(\omega)$ dok maksimum pogreške $E(\omega)$ ne postane minimalan.
- Ako maksimum od $E(\omega)$ u području $\omega_a \leq \omega \leq \omega_b$ iznosi ϵ_o , tada za apsolutnu grešku vrijedi:

$$|\tilde{H}(\omega) - D(\omega)| \leq \frac{\epsilon_o}{|W(\omega)|}, \quad \omega_a \leq \omega \leq \omega_b$$

9

Numeričko projektiranje FIR filtara jednake valovitosti

- Za projektiranje filtra

$$D(\omega) = \begin{cases} 1, & \text{za pojas propuštanja} \\ 0, & \text{za pojas gušenja} \end{cases}$$

- $\tilde{H}(\omega)$ treba zadovoljiti gornji zahtjev s valovitošću $\pm \delta_p$ u pojasu propuštanja i valovitošću δ_s u pojasu gušenja.

10

Numeričko projektiranje FIR filtara jednake valovitosti

- Tip 3.** - $\tilde{H}(\omega) = \sum_{n=1}^M c[n] \sin(\omega n)$

gdje je

$$c[n] = 2h[M-n], \quad 1 \leq n \leq M$$

- Tip 4.** - $\tilde{H}(\omega) = \sum_{n=1}^{(2M+1)/2} d[n] \sin\left(\omega(n-\frac{1}{2})\right)$

gdje je

$$d[n] = 2h[\frac{2M+1}{2}-n], \quad 1 \leq n \leq \frac{2M+1}{2}$$

13

Numeričko projektiranje FIR filtara jednake valovitosti

za

$$L = \begin{cases} M, & \text{za tip 1.} \\ \frac{2M-1}{2}, & \text{za tip 2.} \\ M-1, & \text{za tip 3.} \\ \frac{2M-1}{2}, & \text{za tip 4.} \end{cases}$$

Što su $\tilde{b}[n]$, $\tilde{c}[n]$ i $\tilde{d}[n]$?

16

Numeričko projektiranje FIR filtara jednake valovitosti

- Zato težinska funkcija može biti izabrana kao

$$W(\omega) = \begin{cases} 1, & \text{u pojasu propuštanja} \\ \delta_p / \delta_s, & \text{u pojasu gušenja} \end{cases}$$

ili

$$W(\omega) = \begin{cases} \delta_s / \delta_p, & \text{u pojasu propuštanja} \\ 1, & \text{u pojasu gušenja} \end{cases}$$

11

Numeričko projektiranje FIR filtara jednake valovitosti

- Amplitudna karakteristika za sva četiri tipa FIR filtra s linearom fazom može biti prikazana kao

$$\tilde{H}(\omega) = Q(\omega)A(\omega)$$

gdje je

$$Q(\omega) = \begin{cases} 1, & \text{za tip 1.} \\ \cos(\omega/2), & \text{za tip 2.} \\ \sin(\omega), & \text{za tip 3.} \\ \sin(\omega/2), & \text{za tip 4.} \end{cases}$$

14

Numeričko projektiranje FIR filtara jednake valovitosti

Numeričko projektiranje FIR filtara jednake valovitosti

- Što je $\tilde{b}[n]$?

- Za tip 2 vrijedi

$$\tilde{H}(\omega) = \sum_{n=1}^{(2M+1)/2} b[n] \cos\left(\omega(n-\frac{1}{2})\right)$$

gdje je $b[n] = 2h[\frac{2M+1}{2}-n], \quad 1 \leq n \leq \frac{2M+1}{2}$

- Moguća je transformacija koja vodi na

$$\tilde{H}(\omega) = \cos \frac{\omega}{2} \sum_{n=0}^{(2M-1)/2} \tilde{b}[n] \cos(\omega n)$$

17

Numeričko projektiranje FIR filtara jednake valovitosti

- Tip 1.** - $\tilde{H}(\omega) = \sum_{n=0}^M a[n] \cos(\omega n)$

gdje je

$$a[0] = h[M], \quad a[n] = 2h[M-n], \quad 1 \leq n \leq M$$

- Tip 2.** - $\tilde{H}(\omega) = \sum_{n=1}^{(2M+1)/2} b[n] \cos\left(\omega(n-\frac{1}{2})\right)$

gdje je

$$b[n] = 2h[\frac{2M+1}{2}-n], \quad 1 \leq n \leq \frac{2M+1}{2}$$

12

Numeričko projektiranje FIR filtara jednake valovitosti

te $A(\omega) = \sum_{n=0}^L \tilde{a}[n] \cos(\omega n)$

gdje je

$$\tilde{a}[n] = \begin{cases} a[n], & \text{za tip 1.} \\ \tilde{b}[n], & \text{za tip 2.} \\ \tilde{c}[n], & \text{za tip 3.} \\ \tilde{d}[n], & \text{za tip 4.} \end{cases}$$

15

Numeričko projektiranje FIR filtara jednake valovitosti

$$\tilde{H}(\omega) = \cos \frac{\omega}{2} \sum_{n=0}^{(2M-1)/2} \tilde{b}[n] \cos(\omega n)$$

- U kakvoj su vezi $b[n]$ i $\tilde{b}[n]$?

$$b[\frac{2M+1}{2}] = \frac{1}{2} \tilde{b}[\frac{2M-1}{2}]$$

$$b[n] = \frac{1}{2} (\tilde{b}[n] + \tilde{b}[n-1]) \quad 2 \leq n \leq \frac{2M-1}{2}$$

$$b[1] = \frac{1}{2} (\tilde{b}[1] + \tilde{b}[0])$$

18

Numeričko projektiranje FIR filtara jednake valovitosti

- Modificirani oblik funkcije greške je
$$\begin{aligned} E(\omega) &= W(\omega)[Q(\omega)A(\omega) - D(\omega)] \\ &= W(\omega)Q(\omega)[A(\omega) - \frac{D(\omega)}{Q(\omega)}] \\ &= \tilde{W}(\omega)[A(\omega) - \tilde{D}(\omega)] \end{aligned}$$

uz notaciju

$$\tilde{W}(\omega) = W(\omega)Q(\omega)$$

$$\tilde{D}(\omega) = D(\omega)/Q(\omega)$$

19

Numeričko projektiranje FIR filtara - primjer

- Primjer niskopropusnog FIR filtra tipa 1. reda $N = 12$. U ovom slučaju je $\tilde{H}(\omega) = A(\omega)$.
 - Neka je:
- $R = [0, \omega_p] \cup [\omega_s, \pi]$
 $\tilde{D}(\omega) = D(\omega) = 1$ i $\tilde{W}(\omega) = W(\omega) = 1$ za $\omega \in [0, \omega_p]$
 $\tilde{D}(\omega) = D(\omega) = 0$ i $\tilde{W}(\omega) = W(\omega) = 2$ za $\omega \in [\omega_s, \pi]$
- Težinska funkcija definira da će valovitost u pojasu gušenja biti polovica valovitosti u pojusu propuštanja.

22

Numeričko projektiranje FIR filtara jednake valovitosti

- Optimizacijski problem - Odrediti $\tilde{a}[n]$ koji minimiziraju maksimalnu vrijednost ε od:

$$E(\omega) = \tilde{W}(\omega) \left[\sum_{n=0}^L \tilde{a}[n] \cos(\omega n) - \tilde{D}(\omega) \right]$$

za specificirano frekvencijsko područje $\omega \in R$

- Kada su određeni $\tilde{a}[n]$ računaju se odgovarajući koeficijenti originala $A(e^{j\omega})$. Iz njih se tada određuju $h[n]$.

20

Numeričko projektiranje FIR filtara jednake valovitosti

- Alternacijski teorem -

$$A(\omega) = \sum_{n=0}^L \tilde{a}(n) \cos(\omega n)$$

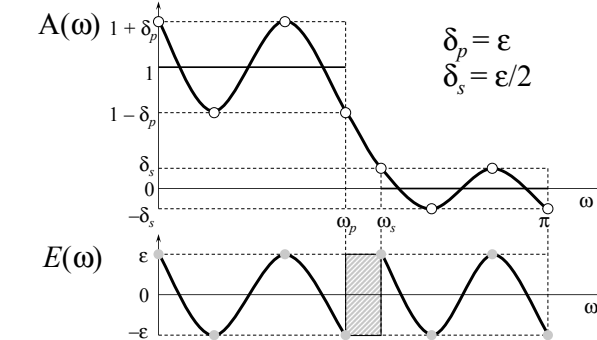
je najbolje jedinstveno rješenje u minimizaciji ε

$$\varepsilon = \max_{\omega \in R} |E(\omega)| = \max_{\omega \in R} |W(\omega)[Q(\omega)A(\omega) - D(\omega)]|$$

ako i samo ako postoje najmanje $L + 2$ točke $\{\omega_i\}$, $0 \leq i \leq L + 1$, takve da je $\omega_0 < \omega_1 < \dots < \omega_{L+1}$ i $E(\omega_i) = -E(\omega_{i+1})$, $|E(\omega_i)| = \varepsilon$ za $0 \leq i \leq L + 1$.

21

Numeričko projektiranje FIR filtara - primjer



23

Numeričko projektiranje FIR filtara - primjer

- Za naš primjer je $L = N/2 = 6$ pa $A(\omega)$ sadrži sedam nepoznanica:
- $$\tilde{a}[0], \tilde{a}[1], \tilde{a}[2], \dots, \tilde{a}[6]$$
- Broj točaka ekstrema je $L + 2 = 8$:
- $$\omega_0, \omega_1, \omega_2, \dots, \omega_7 = \omega_{L+1}$$
- Metoda pronađenja optimalnog filtra svodi se na iterativni postupak određivanja frekvencija ekstrema.

25

Numeričko projektiranje FIR filtara jednake valovitosti

- Po alternacijskom teoremu znamo da će optimalni filter $A(e^{j\omega})$ zadovoljavati sljedeće jednakosti

$$\tilde{W}(\omega_i)[A(\omega_i) - \tilde{D}(\omega_i)] = (-1)^i \varepsilon, \quad 0 \leq i \leq L + 1$$

koje napisane u matričnom obliku su

$$\begin{bmatrix} 1 & \cos(\omega_0) & \dots & \cos(L\omega_0) & -1/\tilde{W}(\omega_0) \\ 1 & \cos(\omega_1) & \dots & \cos(L\omega_1) & 1/\tilde{W}(\omega_1) \\ \vdots & \vdots & \ddots & \vdots & \vdots \\ 1 & \cos(\omega_L) & \dots & \cos(L\omega_L) & (-1)^{L-1}/\tilde{W}(\omega_L) \\ 1 & \cos(\omega_{L+1}) & \dots & \cos(L\omega_{L+1}) & (-1)^L/\tilde{W}(\omega_{L+1}) \end{bmatrix} \begin{bmatrix} \tilde{a}[0] \\ \tilde{a}[1] \\ \vdots \\ \tilde{a}[L] \\ \varepsilon \end{bmatrix} = \begin{bmatrix} \tilde{D}(\omega_0) \\ \tilde{D}(\omega_1) \\ \vdots \\ \tilde{D}(\omega_L) \\ \tilde{D}(\omega_{L+1}) \end{bmatrix}$$

26

Remez-algoritam

- Matrična jednadžba može biti riješena za nepoznanicu $\tilde{a}[i]$ i ε ako su unaprijed poznate $L + 2$ frekvencije ekstrema.
- Remez-algoritam se koristi da bi se odredile pozicije frekvencija ekstrema.

27

Remez-algoritam

- Postupci kod Remez-algoritma su slijedeći:
 - proizvoljni odabir početnih ekstremalnih frekvencija,
 - računanje ϵ iz prije dane matrične jednakosti,
 - računanje $A(e^{j\omega})$ provlačenjem Lagrangeovog polinoma kroz $L + 1$ od $L + 2$ odabrane točke ekstrema,
 - određivanje novih točaka ekstrema od $A(e^{j\omega})$ odnosno funkcije pogreške $E(e^{j\omega})$.

28

Remez-algoritam

- Iterativni postupak se ponavlja dok se ϵ u dva uzastopna koraka ne promijeni za neku zadanu malu vrijednost.
- Tada je ϵ željena pogreška aproksimacije po minimax kriteriju.
- U algoritmu se u svakom koraku implicitno mijenjaju sve vrijednosti uzorka impulsnog odziva $h[n]$, ali se stvarne vrijednosti $h[n]$ eksplicitno uopće ne računaju.
- Na kraju se iz uzorka funkcije dobivene interpolacijom polinomom pomoću DFT-a računaju uzorci $h[n]$.

29

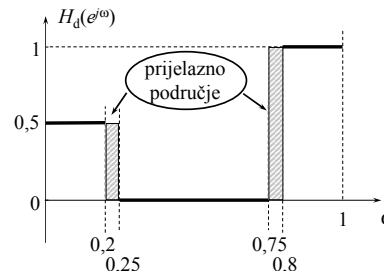
Korištenje MATLAB funkcije remez()

- Funkcija `remez()` služi za realizaciju višepojasnih optimalnih FIR filtera s proizvoljnim omjerom valovitosti u pojasevima.
- Poziv funkcije: `b = remez(N, f, m, wt)`
 - `b` – vektor dužine $N + 1$ s uzorcima impulsnog odziva,
 - `N` – red filtra,
 - `f` – vektor s frekvencijama u rasponu $[0, 1]$ (1 predstavlja pola frekvencije otiskavanja),
 - `m` – magnitud željene frekv. karakteristike,
 - `wt` – vektor s težinskim faktorima.

31

Primjer korištenja MATLAB funkcije remez()

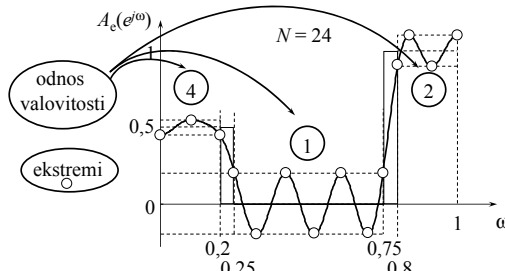
- Primjer željene frekvencijske karakteristike:



32

Primjer korištenja MATLAB funkcije remez()

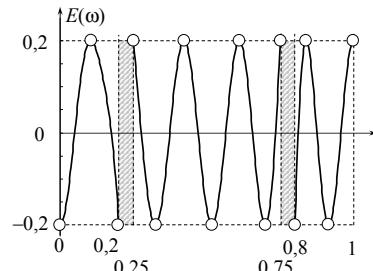
- Dobivena optimalna frekvencijska karakteristika:



34

Primjer korištenja MATLAB funkcije remez()

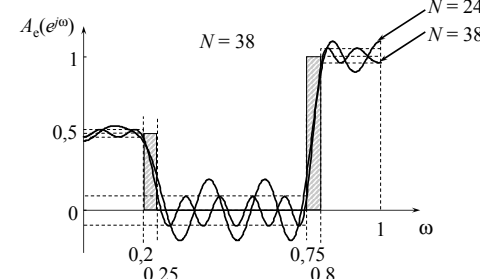
- Konačna pogreška $\delta = \delta_s \approx 0.2$.



35

Primjer korištenja MATLAB funkcije remez()

- Optimalna frekvencijska karakteristika uz $N=38$:



36

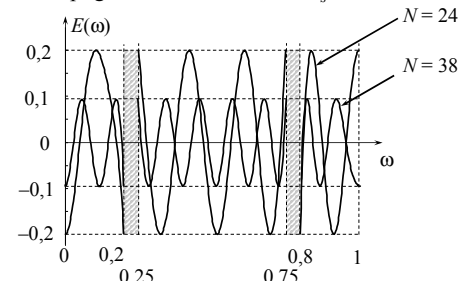
Remez-algoritam

- Optimalni FIR filteri imaju najmanju valovitost δ za definirano prijelazno područje $[\omega_s, \omega_p]$.
 - Rezultirajuća valovitost je za niski propust u području gušenja $\delta_p = \delta$, a u području propuštanja $\delta_s = K\delta$.
 - Za procjenu potrebnih broja uzoraka $N + 1$ za ostvarenje nisko propusnog filtra zadanog prijelaznog područja i valovitosti može se koristiti sljedeći izraz:
- $$N = \frac{-10 \log_{10}(\delta_s \delta_p) - 13}{2,324(\omega_p - \omega_s)}$$
- Moguće je realizirati različite i vrlo složene tipove filtera.

30

Primjer korištenja MATLAB funkcije remez()

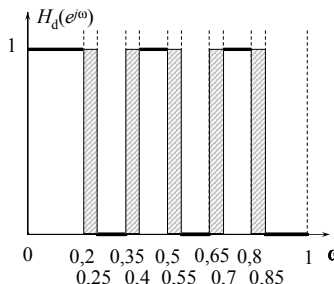
- Konačna pogreška uz $N = 38$, $\delta = \delta_s \approx 0,1$.



37

Primjer korištenja MATLAB funkcije remez()

- Primjer u MATLAB-u:



38

*Matlab primjeri
(primjer i filtdemo)*

39